

# ژئوتکنیک لرزه‌ای مهندسی

تألیف:

Ikuo Towhata

ترجمه:

احمدرضا مظاہری

عضو هیئت علمی دانشکده فنی و مهندسی، دانشگاه آیت الله العظمی بروجردی (ره)

مسعود پاک نهاد

عضو هیئت علمی گروه عمران، مرکز آموزش عالی محلات



عضو:



نجفی نجفی ناشران تاب نگاری

این اثر مشمول قانون حمایت مولفان و مصنفان و هنرمندان مصوب ۱۳۴۸ است، هر کس تمام یا قسمتی از این اثر را بدون اجازه ناشر و مؤلف، نشر یا پخش یا عرضه کند مورد پیگرد قانونی قرار خواهد گرفت.

سازمان ایکو	Towhata, Ikuo	تهران، ایکو
عنوان و پدیدآورنده	ژئوتکنیک لرزه‌ای مهندسی / تالیف ایکو توهاتا؛ ترجمه مسعود پاکنها، احمد رضا مظاہری.	تهران : علم عمران ، ۱۳۹۶
مشخصات نشر	ص. ۳۰۹	مشخصات ظاهری
مشخصات ظاهری	ص. ۳۰۹	شابک
شابک	۹۷۸-۶۰۰-۵۱۷-۶۴۴-۰	عنوان اصلی:
عنوان اصلی:	Geotechnical earthquake engineering, c2008	موضوع
موضوع	کتاب حاضر همچنین با عنوان "مهندسی ژئوتکنیک لرزه‌ای" با ترجمه امیر رضا بهادری نژاد، محمد سعید پارسامهر، انتشارات مصفای الوند، ۱۳۹۶، که دریافت کرده است، مهندسی ژئوتکنیک لرزه‌ای، زلزله - مهندسی، Soil mechanics, Earthquake engineering:	عنوان
عنوان	پاکنها، مسعود، ۱۳۴۴ -، مترجم	شناسه افزوده
شناسه افزوده	مظاہری، احمد رضا، ۱۳۶۴ -، مترجم	شناسه افزوده
شناسه افزوده	TA۶۵۴/۷ ۱۳۹۶: ۹۷۹۱۶۵۴/۷	ردیبندی کنگره
ردیبندی کنگره	۶۲۴/۱۷۶۲:	ردیبندی دیجیتی
ردیبندی دیجیتی	۴۹۸۸۶۸۶:	شماره کتابخانه ملی



نشریه علم عمران

### ژئوتکنیک لرزه‌ای مهندسی

تالیف: Ikuo Towhata

ترجمه: مسعود پاک نهاد، احمد رضا مظاہری

چاپ اول	۱۳۹۶	پاییز ۱۳۹۶
حروفچینی و صفحه‌آرایی	علم عمران	
تعداد و قطعه صفحات	۳۰۹	صفحه خشتنی
شمارگان	۱۰۰	
بهای کتاب	۳۰۰۰۰	ریال
شابک	۹۷۸-۶۰۰-۵۱۷-۶۴۴-۵	

ISBN 978-600-5176-44-5

نشر علم عمران: تهران، یوسف آباد، خیابان جهان آراء، بین خیابان‌های ۱۶ و ۱۸، پلاک ۳۳، طبقه دوم، واحد ۱۱ ،  
تلفن: ۸۸۳۵۳۹۳۰، ۸۸۳۵۳۹۳۲ دورنگار: ۸۸۳۵۳۹۳۲

حقوق چاپ و نشر برای نشر علم عمران محفوظ است.

## مقدمه

### نویسنده

### پیشگفتار

این کتاب نتیجه فعالیت های طولانی من در هر دو زمینه تحقیق و تدریس است. چاپ این کتاب با همکاری مالی وزارت آموزش و فرهنگ و صنعت میسر شده است. عنوان تدریس ، مطالب را برای اولین بار از سال ۱۹۸۵ برای تدریس دینامیک خاک در انسستیتوی تکنولوژی در بانکوک، تایلند تدریس کرده ام. یافته های میدانی و آزمایشگاهی را از مطالب چاپ شده و تعدادی دست نویس جمع آوری کرده ام. از آنجا که تکنولوژی کامپیوتر خیلی در دهه های ۸۰ پیشرفت نکرده بود، دست نویس ها بصورت قطعات بریده شده و کنار هم گذاشته شده بصورت دستی بودند و بسیاری از صفحات بصورت دست نویس بودند. پس از آن در سال ۱۹۹۵ در دانشگاه توکیو همان موضوع را تدریس کرده ام. از آن زمان به بعد من اطلاعات بسیاری از نتایج تحقیقات میدانی و تست های آزمایشگاهی و همچنین تحلیل های عددی به آن اضافه کرده ام. و امکان آن پیدا شد که همه آن بصورت رسانه کامپیوترا در آمده و تدریس آن آسانتر شود. خواننده میتواند ببیند که کتاب حاوی نوشته های ژاپنی در میان کلمات انگلیسی نیز هست. زیرا این متن برای تدریس در توکیو آماده شده بود. هدف اصلی این کتاب جمع آوری داده هایی مفید برای فهم و ضعیت تکنولوژی پیشرفته و کاربردهای آن در موضوعات نوین است. فهم موارد اساسی اهمیت دارد زیرا در عمل و تئوری ها و شیوه تفکرمان در مورد مسائل فرضیات بسیاری را قبول می کنیم. و این سیاست من بوده است که با استفاده از آزمایشات و پیش زمینه های دانش نشان دهن چرا در عمل این ایده ها بکار می روند. این تفکر و ایده اکنون نیز تغییر نکرده است.

جمع آوری اطلاعات پیش زمینه برای یک شخص واحد بسیار ساده هم نیست. لازم است که بسیاری از نشریات خواننده شوند، که بعضی در نیمه اول قرن بیستم به چاپ رسیده اند و تعدادی در نشریات محلی به چاپ رسیده اند. کار غیر ممکنی نیست اما، جمع آوری این اطلاعات در وهله اول یک کار بسیار زمان برآست، و همچنین دسترسی به بسیاری از منابع نشریات قدیمی اکنون نیز ساده نیست. بنابر این من در این کتاب تلاش کرده ام اطلاعات را هر چقدر که میسر بوده جمع آوری کنم تا در زمان مطالعات نسل جدید خوانندگان صرفه جویی شود. بنابر این بسیاری از شکل های نشریات اصلی باز تولید شده است. علاوه بر این تلاش کرده ام سایت های با اهمیت را بازدید کرده و عکس هایی را برای نشان دادن ایده های عملی و معنادار کردن مطالعه تهیه نم. اگرچه نتیجه کامل نیست، اما اطلاعات این کتاب میتواند برای خوانندگانی که نیاز به درکعملی و ضعیت فعلی کنند مفید خواهد بود تا بتوانند در کار فعلی و آینده خود بهبود ایجاد کنند. این خصوصی اهمیت دارد زیرا گسترش جامعه ما مسائل جدیدی را ایجاد می کند و روش های جدیدی را برای حل آنها بصورت مداوم نیاز خواهد داشت.

یک مسئله با اهمیت در این کتاب اطلاعات فوق العاده زیاد آن است. برای هر خواننده جوان که به تازگی مهندسی ژئوتکنیک و مهندس خاک را آغاز کرده است، اهمیت دارد که یک دید کلی پیدا کرده و بعد جزئیات مطالب را یاد بگیرد. تعداد کل صفحات و محتوی این کتاب میتواند مانع تلاش آنها شود. به

همین منظور من تصمیم گرفتم که محتوی کتاب را به سه بخش تقسیم کنم، بخش مقدماتی، پیشروفت و متفرقه. لذا خواننده می تواند به جای نیاز به خواندن سرتاسر کتاب، فقط قسمتی از مطالب مورد نیاز و دلخواه خود را انتخاب کند. مطالب متفرقه به معنای بی اهمیت بودن آن نیست، بعضی از اوقات موضوعات بسیار جالبی را در آنها میتوان یافت. بنابر این توصیه می شود که خوانندگان جوان نگاه کلی به این صفحات نیز داشته باشند. از سوی دیگر انتظار نمی رود که خوانندگان از ابتدا تا انتهای کتاب را صفحه به صفحه بصورت پیوسته مطالعه کنند.

من امیدوارم که اطلاعات اورده شده در این کتاب به خوانندگان برای گسترش دانش و فعالیت هایشان در زمینه مهندسی ژئوتکنیک کمک کند. مطمئناً در محتوی این کتاب موضوعات با اهمیت دیگری آورده نشده است. من در صفحه شخصی خود اصلاحات و مطالب جدید را اضافه خواهم کرد. به خوانندگان توصیه می شود که از سایت آزمایشگاه مهندسی ژئوتکنیک ، دانشکده مهندسی دانشگاه توکیو ، راین بازدید نمایند

Ikuo Towhata

ژوئن ۲۰۰۷

## مقدمه

## مترجمین

امروزه با گسترش علم ژئوتکنیک، لزوم شناخت دقیق تر رفتار خاک در زمان وقوع زلزله و پس از آن بیشتر از گذشته احساس می‌گردد. با شناخت درست عوامل محرک ایجاد لرزش و بررسی دقیق خاک محل می‌توان حرکت زمین در حین زلزله و تغییر شکل‌های ماندگار بعد از وقوع زلزله را پیش‌بینی نمود. به منظور شناخت عوامل محرک لازم است شناخت دقیقی از منابع تولید زلزله و گسل‌های موجود ایجاد گردد، انواع امواج ناشی از زلزله، سرعت انتشار و نحوه مستهلك شدن انرژی آنها به خوبی بررسی گردد. علاوه بر آن نیاز است تا شناخت دقیقی از خصوصیات خاک نیز حاصل شود که این موضوع می‌تواند با انجام تست‌های آزمایشگاهی و صحرایی استاتیکی و دینامیکی ایجاد شود.

کتاب حاضر ترجمه کتاب Geotechnical Earthquake Engineering نوشته آقای پروفسور Ikuo Towhata می‌باشد که توسط انتشارات Springer در سال ۲۰۰۸ چاپ شده است. یازده فصل در کتاب پیشرو آمده است که در فصل اول و دوم مسائل مقدماتی ژئوتکنیک لرزه‌ای مورد بحث قرار گرفته و پس از آن در فصول سوم، چهارم و پنجم مباحث مریوط به زلزله شناسی، انتشار امواج و اثراتی که زمین لرزه می‌تواند ایجاد کند پرداخته شده است. در فصل ششم پاسخ دینامیکی در خاکها و اثراتی که لای‌های خاک می‌توانند بر امواج زلزله از سنگ بستر تا سطح زمین بگذارد بررسی شده است. به منظور ارزیابی رفتار خاک لازم است تا شناخت دقیقی از مشخصات دینامیکی خاک صورت گیرد که این موضوع با معرفی و شناخت تست‌های صحرایی و آزمایشگاهی در فصول بعدی کتاب حاصل شده است.

امید است که ترجمه این کتاب بتواند موجب آشنایی بیشتر پژوهشگران و دانشجویان با مبانی و موضوعات مطرح در مهندسی ژئوتکنیک باشد. همچنین با توجه به موضوعات مطرح شده در این کتاب، می‌تواند به عنوان مرجع مفیدی در دروس دینامیک خاک، ژئوتکنیک لرزه‌ای، مبانی مهندسی لرزه‌ای در مقاطع کارشناسی ارشد و دکتری مورد استفاده دانشجویان و اساتید محترم در کشور عزیزمان قرار گیرد.

مسعود پاکنهاد، احمد رضا مظاہری

## فهرست

## مطالب

۴۳	۲-۳- نواحی با احتمال وقوع زمین لرزه‌های بزرگ
۴۶	۳-۳- لرزه خیری به علت تحریک مخزن آب
۴۷	مراجع

### فصل چهارم: انتشار امواج در فضای الاستیک ۴۹

۵۰	۱-۴- موج‌های زلزله: موج برشی S
۵۱	۲-۴- موج‌های زلزله: موج طولی P
۵۳	۳-۴- ایده‌آل سازی انتشار موج قائم
۵۵	۴-۴- انتشارقائم موج برشی S در سطح زمین
۵۹	۵-۴- تمرین شماره ۱- بزرگ نمایی حرکت زمین
۵۹	۶-۴- امواج زلزله: موج رایلی
۶۱	۷-۴- امواج زلزله: موج لاو
۶۳	۸-۴- پاسخ محیط الاستیک به تحریک سطحی
۶۴	۹-۴- انتقال و اثرات موج در محل تلاقي دو لایه (ایترفیس)
۶۶	۱۰-۴- محاسبه انرژی موج لرزه ای
۶۷	۱۱-۴- ترافیک-ایجاد ارتعاش در زمین
۶۹	مراجع

### فصل پنجم: اثرات زمین لرزه ۷۱

۷۲	۱-۵- شدت حرکت زلزله
۷۴	۲-۵- شدت زلزله اصلاح شده
۷۵	۳-۵- ابزار آلات تعیین شدت زلزله
۷۷	۴-۵- بزرگی زلزله

### فصل اول: اصول مقدماتی در مکانیک خاک ۱

۱	۱-۱- خواص فیزیکی خاک
۲	۲-۱- وزن و دانسیته خاک
۳	۳-۱- تنش موثر و فشار آب حفره ای
۵	۴-۱- ملاحظات و تغییرات حجم
۹	۵-۱- تغییر شکل برشی و مقاومت ماسه
۱۳	۶-۱- اتساع یا تغییرات حجم برشی
۱۴	۷-۱- آزمایش برش زهکشی نشده یا با حجم ثابت
۱۶	۸-۱- فشار آب حفره ای اضافی و دیاگرام مسیر تنش
۱۷	۹-۱- دستگاه برش سه محوری
۱۹	۱۰-۱- نفوذ در غشا
۲۱	۱۱-۱- دینامیک مقدماتی
۲۳	۱۲-۱- آزمایش نفوذ استاندارد
۲۵	۱۳-۱- جریان آب زیرزمینی
۲۸	۱۴-۱- نوار برش
۳۱	مراجع
۳۲	

### فصل دوم: مقدمه ۳۵

۳۶	۱-۲- اهداف مهندسی ژئوتکنیک لرزه ای
۳۷	۲-۲- مسائل ژئوتکنیکی که در حین زلزله با آن مواجه می‌شویم
۳۸	۳-۲- دیاگرام کلی نمایش رابطه مابین مسائل لرزه ای ژئوتکنیک

### فصل سوم: دانش زلزله شناسی ۳۹

۴۰	۱-۳- گسیختگی گسل بعنوان علت زلزله
----	-----------------------------------

۱۷-۶	- تمرین شماره ۲ تحلیل پاسخ دینامیکی بر روی خاک الاستیک .....	۱۴۲
۱۴۳	مراجع .....	

#### **فصل هفتم: تحلیل شبیه استاتیکی محدود ۱۴۵**

۱۴۶	۱-۷ - ضریب زلزله .....	
۱۵۱	۲-۷ - روش اصلاح شده ضریب زلزله .....	
۱۵۳	۳-۷ - حرکت قائم .....	
۱۵۶	۴-۷ - امتداد نیروی اینرسی زلزله در طراحی .....	
۱۵۷	مراجع .....	

#### **فصل هشتم: آزمایشات صحرایی ۱۵۹**

۱۶۰	۱-۸ - آزمایشات صحرایی برای سرعت موج برشی .....	
۱۶۱	۲-۸ - عملیات اکتشاف در چاه بصورت معلق .....	
۱۶۴	۳-۸ - آزمایش عرضی گمانه .....	
۱۶۵	۴-۸ - روابط تجربی مابین $N-SPT$ و $V_s$ در خاک‌های آبرفتی .....	
۱۶۷	۵-۸ - رابطه ما بین $N-SPT$ و $V_s$ در خاک‌های شنی .....	
۱۶۹	۶-۸ - رابطه مابین $N-SPT$ و $V_s$ در خاک‌های پلیستوسن .....	
۱۷۱	۷-۸ - روش انکسار لرزه‌ای برای اکتشاف و بررسی خاک .....	
۱۷۳	۸-۸ - تکنیک انباسته کردن برای حذف نویز از سیگنال .....	
۱۷۶	۹-۸ - آزمایش نفوذ وزنه سوئدی .....	
۱۷۸	۱۰-۸ - لرزش‌های خفیف (ریز لرزه) .....	
۱۸۳	۱۱-۸ - بررسی خاک سطحی بوسیله ثبت امواج سطحی .....	
۱۸۶	مراجع .....	

#### **فصل نهم: پاسخ دینامیکی مدل‌ها در حالت مدول خاک به فر<sup>۵</sup> ۱۸۷**

۱۸۸	۱-۹ - مدل کردن رابطه تنش - کرنش با اعداد مختلط .....	
۱۹۰	۲-۹ - نسبت میرایی در دینامیک خاک و نسبت میرایی بحرانی .....	
۱۹۱	۳-۹ - ارتعاش میرا در مدل اعداد مختلط .....	
۱۹۳	۴-۹ - ارتعاش اجباری در مدل اعداد مختلط .....	

۷۹	۵-۵ - تاریخچه زمانی حرکت زمین .....	
۸۰	۶-۵ - تاثیر وضعیت خاک محل بر روی حداکثر شتاب .....	
۸۱	۷-۵ - چند رکورد حرکت زلزله‌های مشهور .....	
۸۳	۸-۵ - حرکت زمین در حین زلزله مکزیک در سال ۱۹۸۵ .....	
۸۴	۹-۵ - قادر تاریخچه زمانی شتاب .....	
۸۶	۱۰-۵ - فاصله از منبع زلزله .....	
۸۷	۱۱-۵ - تخمین شدت حرکت زلزله .....	
۸۸	۱۲-۵ - تخمین زمان تداوم حرکت زلزله .....	
۹۰	۱۳-۵ - تعیین زلزله طراحی .....	
۹۲	۱۴-۵ - آسیب‌های زلزله در خانه‌های سنتی .....	
۱۰۰	۱۵-۵ - مطالعات شناسایی خرابی‌های ناشی از زلزله .....	
۱۰۴	مراجع .....	

#### **فصل ششم: آنالیز پاسخ دینامیکی ۱۰۵**

۱۰۶	۱-۶ - رفتار مستقل از نرخ کرنش در خاک رس .....	
۱۰۶	۲-۶ - اهمیت تجزیه و تحلیل جامع با اعداد مختلط .....	
۱۱۰	۳-۶ - پاسخ زودگذر .....	
۱۱۲	۴-۶ - انجام آنالیزها در دامنه زمانی یا دامنه فرکانسی .....	
۱۱۴	۵-۶ - انگرال گیری عددی معادله حرکت در بازه زمانی .....	
۱۱۶	۶-۶ - روش بنای نیومارک .....	
۱۱۹	۷-۶ - مقدمه‌ای بر تحلیل پاسخ لرزه‌ای .....	
۱۲۰	۸-۶ - بزرگ نمایی حرکت در آبرفت سطحی .....	
۱۲۳	۹-۶ - اهمیت حرکت بیرون زدگی‌ها .....	
۱۲۴	۱۰-۶ - پاسخ لرزه‌ای خاک‌های چند لایه .....	
۱۲۶	۱۱-۶ - بزرگ نمایی حرکت در بالای تپه‌ها .....	
۱۲۸	۱۲-۶ - تحلیل بزرگ نمایی ناشی از تپه‌ها .....	
۱۳۰	۱۳-۶ - اثرات بزرگ نمایی محاسبه شده توپوگرافی تپه‌ای .....	
۱۳۱	۱۴-۶ - مشاهدات ثبت شده از اثرات توپوگرافی .....	
۱۳۴	۱۵-۶ - تغیری توابع بسل .....	
۱۳۶	۱۶-۶ - شرایط مرزی نامتناهی .....	

۲۵۱	-۱۵-۱۰- نسبت میرابی در خاک رس.....
۲۵۲	-۱۶-۱۰- تاثیرات زمان تحیکم بر روی میرابی خاک رس.....
۲۵۴	-۱۷-۱۰- منحنی های $G-h$ در نمونه های دست نخورده.....
۲۵۵	-۱۸-۱۰- تغییر شکل دینامیکی خاک های شنی.....
۲۵۷	-۱۹-۱۰- جمع آوری نمونه های دست نخورده خاک.....
۲۶۲	-۲۰-۱۰- روش منجمد کردن نمونه های ماسه ای.....
۲۶۲	-۲۱-۱۰- میزان دست خورده گی نمونه.....
۲۶۵	-۲۲-۱۰- رابطه مابین سرعت سطحی و کرنش در توده خاک.....
۲۶۶	-۲۳-۱۰- رفتار سیکلی غیر خطی بنتونیت سدیم.....
۲۶۸	-۲۴-۱۰- رفتار سیکلی غیر خطی ضایعات جامد شهری.....
۲۷۸	مراجع .....

## فصل یازدهم: مدل های تنش - کرنش ..... ۲۷۹

۱-۱۱	-۱-۱۱- مدل های تنش - کرنش های پر بولیک و رامبرگ - اسگود (Ramberg-Osgood).....
۲۸۰	۲-۱۱- اتساع ماسه تحت اثر برش زهکشی شده چرخه ای.....
۲۸۳	۳-۱۱- تئوری الاستو پلاستیک.....
۲۸۶	۴-۱۱- اتساع در شرایط بارگذاری چرخه ای.....
۲۹۱	۵-۱۱- مدل فنرهای غیر خطی چندگانه.....
۲۹۳	۶-۱۱- تحلیل المان گسسته.....
۳۰۰	مراجع .....

۱۹۵	-۵-۹- انتشار موج در خاک با مدل اعداد مختلط.....
۱۹۶	-۶-۹- جواب های عددی حقیقی در زمین با مدل الاستیک مختلط.....
۱۹۸	-۷-۹- بزرگ نمایی بستر بیرون زده در حالت زمین با مدل اعداد مختلط .....
۱۹۹	-۸-۹- تمرین شماره ۴ تحلیل پاسخ توده خاک چند لایه.....
۲۰۰	-۹-۹- تغییرات مدلول برشی در محل تلاقی لایه های خاک.....
۲۰۳	-۱۰-۹- مدل خطی معادل.....
۲۰۴	-۱۱-۹- تئوری سری های فوریه.....
۲۰۷	-۱۲-۹- تحلیل طیف پاسخ با سری فوریه.....
۲۱۱	-۱۳-۹- تحلیل دینامیکی با مدل خطی معادل.....
۲۱۳	-۱۴-۹- مثال تحلیل خطی معادل.....
۲۱۶	-۱۵-۹- پردازش حرکت زلزله.....
۲۲۱	-۱۶-۹- نکات بیشتر درباره مدل خطی معادل.....
۲۲۳	مراجع .....

## فصل دهم: تست های آزمایشگاهی برای خصوصیات دینامیکی خاک..... ۲۲۵

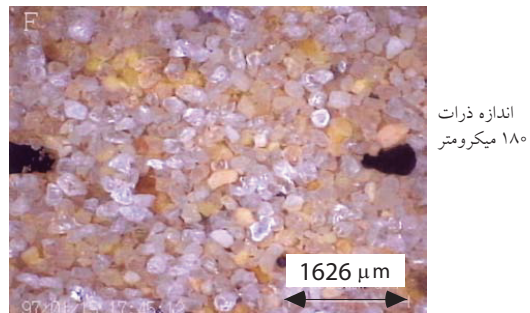
۱-۱۰	-۱-۱۰- آزمایش ستون تشدید (روزنانس) بر روی خاک ها.....
۲۲۶	۲-۱۰- اصول اساسی در تفسیر اثرات بزرگ نمایی کرنش بر روی مدلول برشی و نسبت میرابی.....
۲۲۸	۳-۱۰- عوامل موثر بر روی مدلول و میرابی ماسه.....
۲۲۹	۴-۱۰- عوامل موثر در مدلول و میرابی رس.....
۲۳۱	۵-۱۰- مدلول برشی ماسه در دامنه کرنش کوچک.....
۲۳۲	۶-۱۰- اثرات دامنه کرنش بر روی مدلول برشی.....
۲۳۶	۷-۱۰- اثرات تنش موثر بر روی مدلول برشی ماسه.....
۲۳۸	۸-۱۰- نسبت میرابی ماسه.....
۲۳۹	۹-۱۰- وابستگی ماهیت رس به نرخ بارگذاری.....
۲۴۰	۱۰-۱۰- اثرات پلاستیسیته بر روی رفتار سیکلی خاک های رس.....
۲۴۳	۱۱-۱۰- اثرات دانسیته بر روی مدلول برشی خاک رس.....
۲۴۵	۱۲-۱۰- تاثیرات سن بر روی مدلول برشی خاک رس.....
۲۴۶	۱۳-۱۰- تاثیرات دامنه کرنش بر روی مدلول برشی خاک رس.....
۲۴۸	۱۴-۱۰- افت مدلول برشی در خاک رس.....
۲۴۹	مراجع .....

## فصل اول

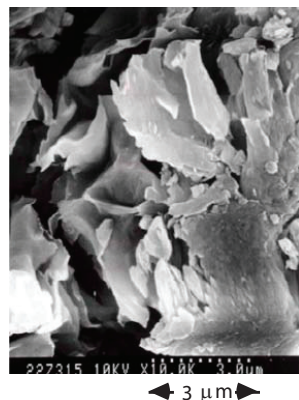
### اصول مقدماتی در مکانیک خاک



مقبره Li Yuanhao: مردم پادشاهی خود در غرب Xia را در منطقه خود مختار فعلی Ningxia Hui در شمال شرقی چین بنا کردند. اولین امپراتور، Li Yuanhao حکومت خود را در ۱۰۳۸ آغاز کرد و امپراتوریش با عایدات تجارت از جاده ابریشم بسیار شکوفا شد. مقبره او در نزدیک شهر Yinchuan با کاشی‌های زیبایی تزئین شده است.



شکل ۱-۱- تصویر میکروسکوپی از شن Toyoura



شکل ۱-۲- تصویر میکروسکوپی دیجیتال از خاک رس بتونیت ( Towhata et al. 1993 )

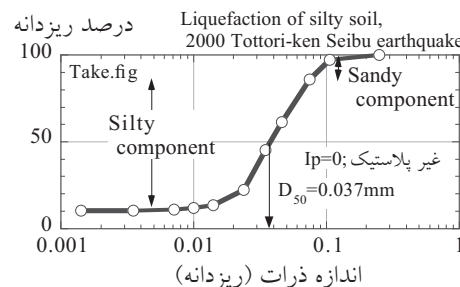
### ۱-۱- خواص فیزیکی خاک

خاک‌ها اصولاً به دو دسته، خاک‌های دانه‌ای و خاک‌های چسبنده، طبقه‌بندی می‌شوند. خاک‌های دانه‌ای شن، ماسه و سیلت بدون چسبندگی می‌باشد(شکل ۱)، و خاک‌های چسبنده ذرات رسی را شامل می‌شوند(شکل ۲-۱). خصوصیات مکانیکی خاک‌های دانه‌ای وابسته به تماس و اصطکاک دانه‌ها با یکدیگر است از اینرو مقدار نیروی تماسی و شکل هندسی مجموعه دانه‌ها نقش - باید یاد آور شویم که مقدار نیروی فشاری تماسی در واحد سطح خاک را تنفس موثر می‌نامند که مهمترین مفهوم در مکانیک خاک امروزی است. در خاک‌های رسی علاوه بر اصطکاک بین ذرات، اندرکنش شیمیایی و الکتریکی بین ذرات رس نیز موثر هستند. از این رو مقاومت برشی، اگر تاریخچه تنفس - کرنش اجازه دهد، حتی در حالتی که تنفس موثر صفر است، فعال خواهد شد. حد روانی ( $LL$ ) و حد پلاستیک ( $PL$ )، که حدود اتربرگ نامیده می‌شوند، علاوه بر تنفس موثر، دو پارامتر مهم برای اندازه گیری مقدار اثر مابین ذرات می‌باشند. نشانه خمیری  $PI$  یا  $I_P$  بصورت  $PI=LL-PL$  تعریف می‌شود.

بطور کلی،  $PI$  بیشتر خاک‌های رسی بین ۴۰ تا ۸۰ قرار می‌گیرد با این استثنا که در بتونیت (Sodium smectite group) این مقدار ۴۰۰ و یا بیشتر است. بر اساس آینه نامه مکانیک خاک سال ۲۰۰۶ ژاپن، عالمت٪ در جلو عدد  $PI$  قرار داده نمی‌شود.

اختلاف مهم دیگر بین خاک‌های دانه‌ای و رسی در اندازه دانه‌ها می‌باشد. اندازه دانه‌ها بر قابلیت هدایت هیدرولیکی (نفوذ پذیری یا قابلیت جریان آب سطحی در میان خاک) موثر است. در مکانیک خاک مرسوم است که دانه‌های بزرگتر از ۷۵ میکرون را ماسه و دانه‌های بزرگتر از ۲۰۰۰ میکرون (۲ میلی متر) را شن نامیده شوند. از طرف دیگر، ذرات کوچکتر از ۵ میکرون رس هستند که در ذرات رس نیروهای الکتریکی و شیمیایی (چسپندگی) مهم است. سیلت (خاک‌های نرم و یکنواخت و خاک دارای رس) به ذرات مابین ۵ تا ۷۵ میکرون گفته می‌شود. سیلت‌ها به دو گروه تقسیم می‌شوند، گروه اول سیلت پلاستیک است که شامل مواد رسی دارای چسپندگی است. گروه دوم غیر پلاستیک است که ترکیبی از دانه‌های مشابه ماسه بدون چسپندگی است. اختلاف دو گروه خاک‌های سیلتی را باید بخارط داشته باشیم.

شکل ۳-۱ توزیع اندازه دانه‌های سیلت غیر پلاستیک که در اثر روانگرایی حین زلزله بیرون آمده است را نشان می‌دهد. محور قائم درصد وزن تجمعی ریزتر از اندازه ذرات در محور افقی را نشان می‌دهد. دیده می‌شود که تقریباً بیش از ۸۰ درصد دانه‌ها در محدوده سیلت قرار دارد. اندازه دانه‌های در ۵۰ درصد عبوری را اندازه دانه متوسط  $D_{50}$  می‌نامند. یعنی قطری که ۵۰ درصد وزنی دانه‌ها از آن ریزتر می‌باشند.



شکل ۳-۱- منحنی توزیع اندازه دانه‌های خاک سیلتی روان شده

## ۱-۲- وزن و دانسیته خاک

دانسیته نسبی ( $G_s$ ) برابر دانسیته جرمی مصالح تشکیل دهنده تقسیم بر دانسیته آب است. لذا یک واحد حجمی دانه‌های خاک به مقدار  $G_s \gamma_w$  وزن دارد. از آنجا که بصورت مشابه از مواد سیلیکاتی ساخته شده اند، مقدار  $G_s$  بسیاری از خاک‌ها، خواه ماسه باشند و یا رسی، مابین محدوده ۲/۶ تا ۲/۷۵ قرار می‌گیرد.

وزن خاک عامل مهمی در محاسبه فشار خاک است. زمانیکه وزن خاک در واحد حجم،  $\gamma$ ، معلوم باشد، فشار قائم (تنش قائم یا نیروی فشاری قائم در واحد سطح) در عمق  $z$  بصورت  $\sigma_z = \gamma z$  محاسبه می‌شود. محدوده مقدار  $\gamma$  بصورت تقریبی برای خاک‌های خشک ۱۵ کیلو نیوتون بر متر مکعب و برای خاک‌های قرار گرفته در زیر تراز آب سطحی ۲۰ تا ۲۰ کیلو نیوتون بر متر مکعب است. زمانی که فضای خالی مابین ذرات خاک کاملاً با آب، بدون

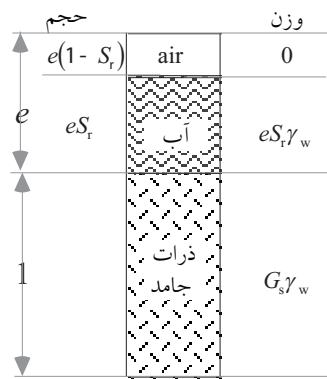
هیچگونه حباب گاز یا هوا پرشده باشد، خاک را اشباع می‌نامیم. میزان اشباع در آب با درجه اشباع شدگی بیان می‌شود ( $S_r$ ). زمانیکه خاک کاملاً اشباع باشد ( $S_r = 1.0$ ) است و زمانیکه خشک باشد ( $S_r = 0$ ) است. بنابراین وزن واحد خاک بصورت زیر محاسبه خواهد شد:

$$\gamma = \frac{\gamma_w G_s + e S_r \gamma_w}{1+e} \quad (1-1)$$

که  $\gamma$  وزن واحد آب ( $9/8$  کیلونیوتن بر مترمکعب) و  $e$  نسبت تخلخل است که برابر نسبت حجمی فضاهای خالی مابین دانه‌های جامد به حجم فاز جامد است، شکل ۱-۴ را بینید. همچنین میزان آب با نسبت وزنی بصورت زیر بیان می‌شود: مقدار آب  $w$  برابر است با نسبت وزن آب به چگالی نسبی خاک.

$$w = \frac{e S_r}{G_s} \quad (2-1)$$

در عمل خاک‌های قرار گرفته در زیر آب سطحی را با اطمینان  $100$  درصد اشباع شده در نظر گرفته و در معادله  $1-1$  مقدار  $S_r = 1.0$  در نظر گرفته می‌شود.



شکل ۱-۴-۱- تعریف نسبت تخلخل

قسمت بعدی، تنش موثر، که به مفهوم مقدار نیروی تماسی مابین دانه‌های خاک است، را بررسی خواهد کرد. تنش موثر نقش بسیار مهمی در مکانیک خاک بازی می‌کند زیرا رفتار خاک به شدت تحت تاثیر نیروی تماسی بین دانه‌ها می‌باشد. در مقابل، تنش معمول که ناشی از بارهای وارد بر واحد سطح خاک هستند و به نام تنش کلی شناخته می‌شوند اهمیت کمتری دارد. تنش‌های قائم که قبلاً به آن اشاره شد یکی از انواع این تنش است.

رفتار مکانیکی خاک مانند مقاومت روانگرایی ماسه، وابستگی زیادی به وضعیت قرار گیری دانه‌ها آن دارد. قرارگیری متراکم تر دانه‌ها رفتار ماسه را بهبود می‌بخشد. این ویژگی را نمی‌توان کاملاً با نسبت تخلخل ( $e$ ) - بیان نمود زیرا مقادیر نسبت تخلخل ماسه‌ها بر اساس اندازه دانه‌ها و صافی سطوح آن متغیر است و هر ماسه‌ای در حداقل مقدار نسبت تخلخل بصورت مشابهی می‌تواند ضعیف باشد. بنابراین پارامتر جدیدی که دانسیته نسبی  $D_r$  نامیده

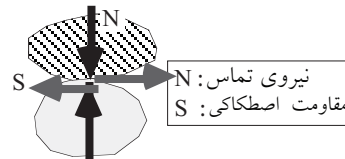
می‌شود، تعریف می‌گردد. زمانیکه ماسه در ضعیف ترین حالت قرار دارد  $D_r = 0\%$  است ( $e = e_{max}$ ) و  $D_r = 100\%$  برای زمانی است که ماسه متراکم ترین حالت را دارد ( $e = e_{min}$ ).

$$D_r = \frac{e_{max} - e}{e_{max} - e_{min}} \times 100\% \quad (3-1)$$

مقادیر  $e_{min}$  و  $e_{max}$  با روشهای متعددی در شرایط بدون تنش قائم قابل اندازه گیری هستند. برای مثال، ته نشینی ملايم ماسه خشک یا ته نشینی در آب برای اندازه گیری وضعیت حداقل فشردگی دانه‌ها بکار می‌رود،  $e_{max}$ ، و آزمایش با لرزاندن نمونه برای محاسبه متراکم ترین حالت ادامه می‌یابد،  $e_{min}$ . توجه داشته باشید که وضعیت حداقل و حداقل فشردگی تحت اثر فشارهای بالاتر تغییر می‌کند. یعنی وضعیت  $D_r = 0\%$  می‌تواند غیر فشرده تر از وضعیت فشردگی تحت اثر بار ۱۰۰ کیلو پاسکال باشد.

### ۱-۳- تنش موثر و فشار آب حفره ای

ماسه‌ای در عمق ۱۰۰ متری دارای صلیت برشی و مقاومت برشی بالاتری از همان نوع ماسه در سطح زمین است. اگر چه قسمتی از این اختلاف بعلت دانسیته و تاریخچه ژئولوژیکی است، اما علت اصلی این موضوع نیروی تماسی قوی بین ذرات ماسه است. از آنجا که لغزیدن ذرات نسبت به هم ماهیتی اصطکاکی دارد (شکل ۱-۵) با افزایش نیروی تماسی لغزیدن دانه‌ها از روی هم مشکل تر خواهد بود و صلیت کلی برشی و مقاومت را افزایش خواهد داد. بنابراین، ماسه قرار گرفته در عمق بوسیله نیروهای تماسی بزرگ ناشی از وزن لایه‌های فوقانی تقویت خواهد شد.



شکل ۱-۵- نمایش گرافیکی نقش نیروهای تماسی مابین دانه‌ها

اختلاف مابین تنش موثر و تنش کلی با در نظر گرفتن تنش‌های حفره‌ای بدست می‌آید. فشار حفره‌ای به مفهوم فشار آب و یا هوای داخل حفره‌ها است (فضای خالی مابین دانه‌های جامد). زمانیکه خاک با آب اشباع شده است، فشار حفره‌ای هوا اهمیتی نخواهد داشت، فشار آب حفره‌ای را با نماد  $\pi$  نشان می‌دهند. از آنجا که فشار آب حفره‌ای یکی از مشخصه‌های مهم خاک است، فشار قائم (تنش کلی قائم) شامل اثرات فشار حفره‌ای آب نیز خواهد بود.

همانگونه که در شکل ۱-۵ نشان داده شده است، فشار آب حفره‌ای اثری بر روی ایجاد و تشکیل مقاومت اصطکاکی در نقطه تماس ندارد. برای مشخص کردن این مسئله، یک شن را که در سطح زمین قرار گرفته است را با نمونه‌ای از همان شن که در عمق ۱۰۰۰۰ متری زیر آب واقع شده است را مقایسه می‌کیم. واضح است که مقدار تنش حفره‌ای در نمونه اول صفر است و در نمونه دومی برابر ۱۰۰ مگا پاسکال. علیرغم تنش بالایی که وجود دارد،

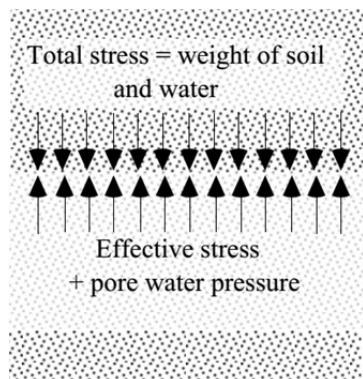
شن قرار گرفته در بستر دریا به علت فشار تماسی صفر همان نرمی را دارد. توجه داشته باشید که فشار آب حفره‌ای در عمق ۱۰۰۰۰ متری برابر ۱۰۰ مگا پاسکال است که برای با تنش قائم کلی است.

<sup>۵</sup> برای فهمیدن بحث فوق معرفی می‌شود علامت پریم نمادی برای نمایش تنش موثر است.

$$\sigma' = \sigma - u \quad (\P-1)$$

برای وضوح بیشتر، و با توجه به شکل ۱-۶-a، در بستر دریا تنش موثر بصورت زیر خواهد بود:

$$\sigma' = \sigma - u = 100 MPa - 100 MPa = 0 MPa$$



### شكل ١-٦-a- محاسبه تنش موثر.

در تنش برشی موضوع تنش موثر ظاهر نمی شود چون فشار آب حفره ای هیچ مولفه برشی ندارد.

**شکل ۱-۶-۲** تعادل نیروهای ستونی از خاک را برای فهم اهمیت تنش موثر نشان داده است. وزن ستون خاک با مقطع عرضی واحد برابر با تنش کل

است. این تنش در معادلات تعادل دارای مولفه قائم فشار آب حفره‌ای  $\sigma_{AA'}$  است و نیروهای تماسی  $\sum N_j \cos \theta_j$  در امتداد  $A A'$  است.

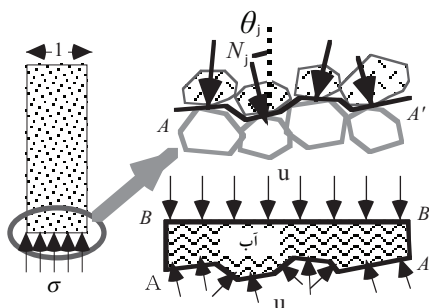
مقدار نیروی تماسی برای  $\theta$  و  $\theta'$  است. جمع و انتگرال گیری نیروها در امتداد  $AA'$  که انتهای منحنی شکل ستون خاک است، از میان حفره‌ها و نقاط تماس دانه‌ها می‌گذرد اما از داخل دانه‌ها رد نمی‌شود. معادله تعادل نشان می‌دهد که انتگرال گیری آب حفره‌ای در امتداد  $AA'$  برابر با فشار حفره‌ای  $u$  است.

د) صفحه مستقیم بالای  $BB'$  است ( $AB$  و  $A'B'$  کو حکت و یامساوی  $BB'$  هستند)

با مقایسه معادلات (۱-۴) و (۱-۵) خواهیم داشت.

$$\sigma' = \sum N_i \cos \theta_i \quad (\text{Eq. 1})$$

بنابراین تنش موثر به معنای جمع نیروهای تماسی دانه‌ها در واحد سطح در امتداد دلخواه است.

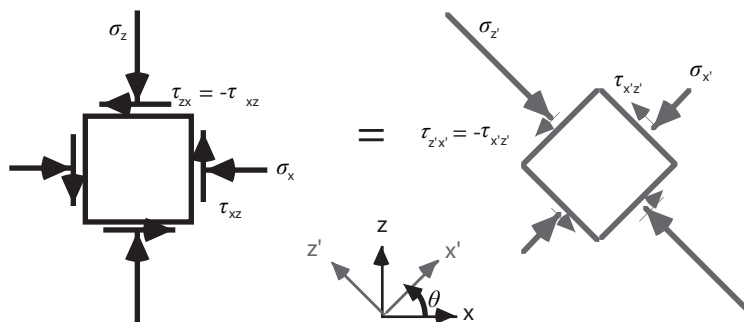


شکل ۱-۶-۶-ب- بیان مفهوم فیزیکی تنش موثر

در فضای دو بعدی نشان داده شده در شکل ۱-۶-۶-ب، سه مولفه تنش کلی وجود دارد و در میان آنها تنش‌های نرمال  $\sigma_x$  و  $\sigma_z$  مولفه تنش موثر دارند،  $\sigma_x = \sigma'_x - u$  و  $\sigma_z = \sigma'_z - u$ . نکته مهم این است که اختلاف تنش و یا مولفه برشی برای هر دو تنش موثر و تنش کلی ثابت است.

$$\sigma_z - \sigma_x = \sigma'_z - \sigma'_x \quad (V-1)$$

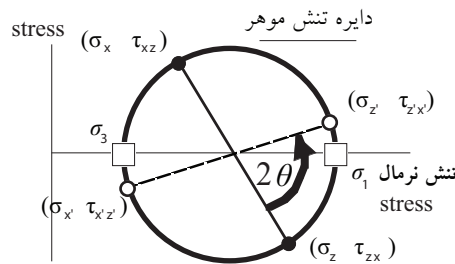
برای هر وضعیت تنش داده شده، مقادیر اسمی مولفه تنش‌ها،  $\sigma_x$ ،  $\sigma_z$  و  $\tau_{xy}$ ، با انتخاب دستگاه مختصات تغییر خواهد کرد (امتدادهای x و z). در شکل ۱-۷-۱ تنش قائم در حالت فشاری مثبت و تنش برشی زمانیکه در جهت حرکت عقربه ساعت است مثبت در نظر گرفته شده است. پس از دوران سیستم مختصات به اندازه  $\theta$  در جهت حرکت عقربه ساعت از  $-z$ - $x$  به سیستم  $-z'$ - $x'$  مقادیر مولفه‌های جدید تنش را با استفاده از تئوری دوایره تنش موهر می‌توان بدست آورد (شکل ۱-۷-۱).



شکل ۱-۷-۱- مولفه‌های تنش در معرض دوران سیستم مختصات

با انتقال دایره موهر به اندازه  $2\theta$  خواهیم داشت:

$$\begin{aligned}\sigma_{x'} &= \frac{\sigma_x + \sigma_z}{2} + \frac{\sigma_x - \sigma_z}{2} \cos 2\theta + \frac{\tau_{zx} - \sigma_{xz}}{2} \sin 2\theta \\ \tau_{xz'} &= \frac{\sigma_x - \sigma_z}{2} \sin 2\theta + \frac{\tau_{zx} + \tau_{xz}}{2} - \frac{\tau_{zx} - \tau_{xz}}{2} \cos 2\theta \\ \sigma_{z'} &= \frac{\sigma_x + \sigma_z}{2} - \frac{\sigma_x - \sigma_z}{2} \cos 2\theta - \frac{\tau_{zx} - \sigma_{xz}}{2} \sin 2\theta \\ \tau_{zx'} &= -\frac{\sigma_x - \sigma_z}{2} \sin 2\theta + \frac{\tau_{zx} + \tau_{xz}}{2} - \frac{\tau_{zx} - \tau_{xz}}{2} \cos 2\theta\end{aligned}\quad (A-1)$$



شکل ۱-۸- بیان مولفه‌های تنش پس از دوران محورهای مختصات

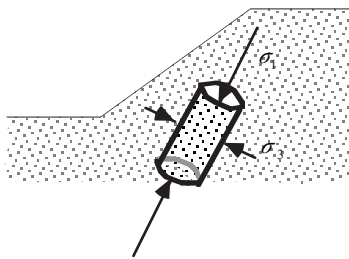
معادله ۱-۸ را می‌توان با توجه به  $\tau_{zx} = \tau_{xz}$  ساده تر کرد. این نکته مهم است که باد آور شویم مقدار متوسط تنش‌های نرمال مستقل از دوران مختصات است.

$$\frac{\sigma_x + \sigma_z}{2} = \frac{\sigma_{x'} + \sigma_{z'}}{2} \quad (4-1)$$

در شکل ۱-۸ دیده می‌شود که دایره تنش محور افقی را در دو نقطه زیر قطع می‌کند.

از آنجا که این نقاط دارای مختصات قائم صفر هستند، مشخص می‌شود که هر وضعیت تنشی داری دو صفحه خاص است که فقط در آن دارای مولفه‌های قائم بوده و تنش برشی در آن صفر است (رابطه ۱۰-۱). این مولفه‌های تنش، تنش‌های اصلی نامیده می‌شوند: تنش اصلی حداقل  $\sigma_1$  که بزرگتر از تنش اصلی حداقل  $\sigma_3$  است. امتداد و جهت مولفه‌های تنش اصلی با استفاده از روابط هندسی نشان داده شده در شکل ۱-۸ بدست می‌آید. امتداد صفحه تنش  $\sigma_1$  از صفحه  $\sigma_Z$  با زاویه  $\beta$  موافق با حرکت عقربه ساعت مشخص می‌شود.

$$\beta = -\frac{1}{2} \arctan \frac{2\tau_{zx}}{\sigma_z - \sigma_x} \quad (11-1)$$



شکل ۱-۹-۱- بازسازی میدان تنش در وضعیت نمونه سه بعدی.

یکی از مهمترین اهداف آزمایش فشار سه محوری و آزمایش محصور نشده در مکانیک خاک ایجاد وضعیت تنش‌های اصلی در نمونه‌های خاک استوانه‌ای و اندازه گیری تغییر شکل‌ها است. که این وضعیت معادل وضعیت میدان تنش نشان داده شده در شکل ۹-۱ می‌باشد. توجه داشته باشید که تمامی بحث فوق که درباره تنش کل بود، دقیقا در مورد مولفه‌های تنش موثر نیز صادق است.

#### ۱-۴- ملاحظات و تغییرات حجم

حجم خاک با تغییرات تنش موثر تغییر می‌کند. به عبارت دقیق‌تر، اندازه فضا (که فضای خالی و یا حفره نامیده می‌شود) مابین دانه‌ها زمانیکه نیروهای تماسی بین دانه‌ها افزایش یابد، کاهش می‌یابد. این پدیده را تحکیم اولیه می‌گویند. زمانیکه گام افزایش تنش موثر  $\Delta P'$  کوچک باشد، مابین  $\Delta P'$  و کرنش حجمی خاک  $\Delta \epsilon_{vol}$  رابطه مستقیم وجود دارد.

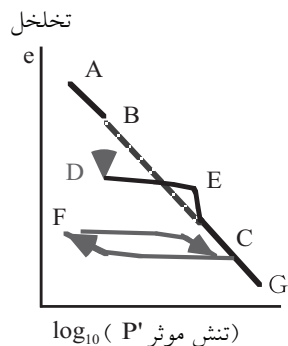
$$\Delta \epsilon_{vol} = m_v \Delta P' \quad (12-1)$$

در این رابطه  $m_v$  تراکم پذیری حجمی خاک نامیده می‌شود. مشکل نشست ناشی از تحکیم در خاک‌های رسی نرم که در معرض بارهای اضافی و یا پمپاز آب هستند شناخته شده است. هر دو عامل فعالیت‌های انسانی فوق تنش موثر را افزایش داده و نشست زمین را افزایش می‌دهند.

ثئوری کلاسیک تحکیم ترزاقی بیان می‌کند که تغییرات حجم خاک متناسب با افزایش تنش موثر قائم است. با بیان دقیق‌تر نسبت خطی بین تغییرات حجم و افزایش تنش موثر برقرار نیست و در عمل یک رابطه نیمه لگاریتمی خطی مانند AG در شکل ۱۰-۱ نشان داده شده است، استفاده می‌شود.

۱. زمانیکه تحکیم از یک وضعیت گل روان آغاز می‌شود و مقدار تنش موثر  $P'$  بصورت مداوم افزایش می‌یابد، وضعیت خاک مسیر خطی ABCG را طی خواهد کرد، که این وضعیت در شکل ۱۰-۱ نشان داده شده است. در این حالت گفته می‌شود خاک بصورت عادی تحکیم یافته است و تنش جاری، حداقل تنشی است که تا حالا خاک تجربه کرده است. این حالت مشابه لایه‌های رسوبی است که بصورت مداوم رسوب گذاری اتفاق می‌افتد.

۲. شکل ۱۰-۱ را باید نمودار  $e - \log P$  بنامیم اما بصورت معمول آنرا نمودار  $e - P$  می‌نامند. به هر حال، محور افقی مقادیر تنش قائم موثر و یا میانگین هر سه تنش موثر در امتدادهای متعامد را نشان می‌دهد (میانگین تنش اصلی موثر).

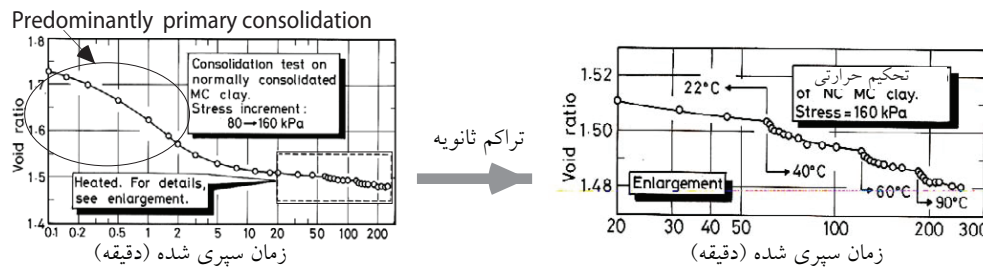


شکل ۱-۱۰-۱ - دیاگرام تحکیم خاک  $e - \log P'$

۳. زمانیکه تنش موثر در نقطه B ثابت نگه داشته شود، روند فشار ثانویه آغاز می‌شود و حجم نمونه با گذشت زمان کاهش می‌یابد. سپس بارگذاری تا نقطه D ادامه می‌یابد و خاک رسی مسیر DEC را طی می‌کند. تا رسیدن به نقطه E مقدار تغییرات حجم ناچیز است؛ پس از جاری شدن در نقطه E، خاک بصورت عادی تحکیم یافته خواهد شد. این اغلب حالتی است که نقطه E بالاتر از خط تحکیم نرمال AG.
۴. کاهش تنش بر روی CF را باربرداری می‌نامند. اما با وجود باربرداری از نمونه نسبت تخلخل (یا حجم خاک) به سطح اولیه در A بر نمی‌گردد. این موضوع به دلیل تغییر شکل‌های برگشت ناپذیر خاک است. بارگذاری مجدد انجام می‌گیرد و از نقطه F به سمت C از مسیر FC اتفاق می‌افتد با رسیدن به نقطه G مجدداً تحکیم نرمال شروع می‌شود.
۵. خاک در شرایط CFC را خاک بیش تحکیم یافته می‌گویند. خاک بیش تحکیم یافته خاک‌هایی هستند که تحت اثر بارگذاری تغییرات اندکی در آنها رخ می‌دهد. نسبت بیش تحکیم یافتنگی بصورت زیر تعریف می‌شود.

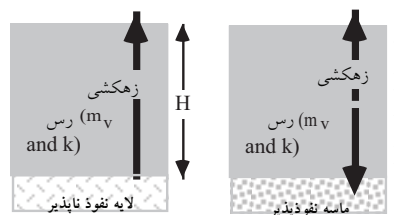
$$OCR \equiv \frac{\text{بیشترین تنش موثر}}{\text{تنش موثر فعلی}} = \frac{P'_C}{P'}$$

۶. مقایسه منحنی DEC و FCG با ارزش است؛ تراکم حجمی چشمگیری پس از نقطه میانی آغاز می‌شود. توجه داشته باشید که این ویژگی در اثر مکانیزم‌های مختلفی ایجاد می‌شود. مقایسه دوم یا کهنگی (تراکم حجمی تحت اثر تنش ثابت BD) با تغییرات حجمی کمتری در DE همراه است و انتقال وضعیت تنش از حالت باربرداری CF، بارگذاری مجدد FC به فشردگی اولیه CG در مسیر FCG مهم است. تحکیم اولیه ایجاد شده با فشار بر روی ساختمان دانه‌های خاک بواسطه تغییر تنش موثر بوجود می‌آید. داشش زیادی درباره تراکم ثانویه وجود ندارد.
- شکل ۱۱-۱ افزایش تراکم ثانویه رس بوسیله حرارت احتمالی خروج حرارتی مولکول  $H_2O$  را نشان می‌دهد که بصورت الکتریکی در سطح ماده رسی جذب می‌شود.



شکل ۱۱-۱- افزایش تراکم ثانویه با گرم کردن رس (Towhata et al.1993)

زمان لازم برای خاتمه نشست تحکیمی (خاتمه تحکیم اولیه) معمولاً یکی از کارهای عملی مهم است. در عمل، زمان تحکیم وابسته است به مقدار آبی که از زمین خارج می‌شود (تراکم پذیری حجمی  $m_v$ )، ضخامت لایه خاک (و به بیان دقیق تر ارتفاع زهکشی  $H$ ) و سهولت جریان آب در داخل رس (نفوذ پذیری رس). همانگونه که در شکل ۱۲-۱ نشان داده شده است ضخامت  $H$  طول زهکشی آب است. بسیاری از دانشجویان، با این مقدار  $H$  و ضخامت لایه رسی سردرگم می‌شوند. زمانیکه دوطرف لایه رسی لایه ای با نفوذ پذیری زیاد باشد، مقدار  $H$  نصف ضخامت لایه رس خواهد بود.



شکل ۱۲-۱- خروج آب از خاک و نشست ناشی از تحکیم

شکل ۱۳-۱ نتایج تئوری تحکیم ترزاقی را برای حالتی که سطح زمین با  $\Delta P$  در لحظه  $t=0$  بارگذاری شده است را نشان می‌دهد. مقدار بدون بعد زمان و درجه تحکیم به ترتیب بصورت زیر تعریف می‌شوند:

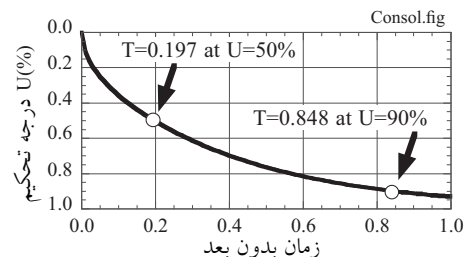
$$T = \frac{\left( \frac{k}{m_v \gamma_w} \right) \times \text{time}}{H^2} \quad \text{and} \quad (13-1)$$

مقدار نشست نهایی / مقدار نشست =  $U$

مقدار  $\gamma_w/8$  کیلو نیوتون بر مترمکعب برای واحد حجم آب است. توجه داشته باشید که نشست نهایی بصورت (ضخامت خاک)  $m_v \Delta P$  داده شده است. همانگونه که قبلاً گفته شد، این ضخامت خاک می‌تواند با فاصله زهکشی  $H$  متفاوت باشد. منحنی نشان داده شده در شکل ۱۳-۱ هیچ وقت به  $U=100\%$  نمی‌رسد. در عمل، زمان برای ایجاد تحکیم  $U=90\%$  بصورت معمول بعنوان یک آیده از زمانی که برای تحکیم لازم است پذیرفته می‌شود.

$$T = 0.848 \text{ and Time needed for } 90\% \text{ consolidation} = 0.848 \times \frac{H^2}{k/m_v \gamma_w} \quad (14-1)$$

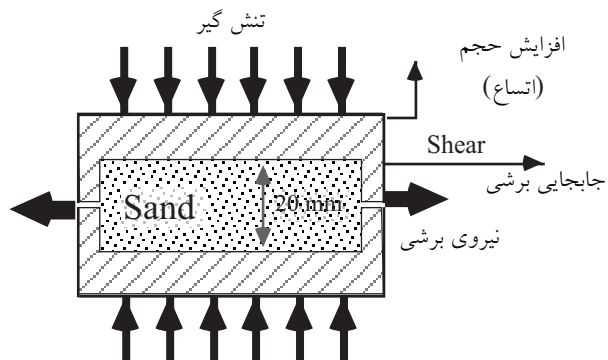
بنابراین زمان تحکیم متناسب با  $H^2$  افزایش می‌یابد. برای کاهش زمان تحکیم، می‌توان طول زهکشی به حداقل مقدار ممکن کاهش داد.



شکل ۱۳-۱ - روند تئوری ترزاقي از نشست ناشی از تحکیم

#### ۱-۵-تغییر شکل برشی و مقاومت ماسه

درک مفهوم برش در آزمایش برش مستقیم نسبت به آزمایش سه محوری قابل درک تر و آسان تر است. شکل ۱۴-۱ دستگاه برش مستقیم را نشان می‌دهد، که در آن نمونه ماسه ما بین دو جعبه صلب قرار گرفته است. پس از اعمال تنش موثر (محصوریت) در امتداد قائم، جعبه‌ها تمایل به جابجایی افقی خواهد داشت و شکستگی برشی در نمونه اتفاق می‌افتد. تنش برشی بصورت معمول از تقسیم نیروی برشی بر سطح مقطع نمونه بدست می‌آید. از آنجا که کرنش در نمونه یکنواخت نیست، چگونگی تغییر شکل برشی با تغییر مکان برشی بیان می‌شود. جابجایی قائم جعبه فوقانی تغییرات حجم ماسه در حین برش را نشان می‌دهد (اتساع).



شکل ۱۴-۱ - آزمایش برش مستقیم